

I. Anexo Fotográfico



Foto 2.2.1.1.a. Muestreo de material de relleno y sedimentos en la parcela experimental por medio de la pala hélix



Foto 2.2.1.1.b. Muestras obtenidas durante la perforación de pozos de observación



Foto 2.2.1.2.1. Muestreo de material inalterado en la parcela experimental por medio de tubo sacatestigo



Foto 2.2.2. Instrumentación de la parcela experimental



Foto 2.2.4. Muestro de agua intersticial a través de las cápsulas de succión



Foto 2.2.5. Detalle de perforación de un pozo profundo



Foto 2.2.6.1.a. Muestreo de pozo profundo mediante electrobomba sumergible



Foto 2.2.6.1.b. Muestreo de pozo somero mediante tubo bailer



Foto 2.2.6.1.c. Determinación de parámetros in situ mediante pHímetro Cole Parmer



Foto 2.2.6.1.d. Muestreo de agua subterránea mediante bomba electrosumergible de pequeño caudal



Foto 2.2.6.2. Muestreo de zanja de drenaje utilizando un recipiente de acero inoxidable

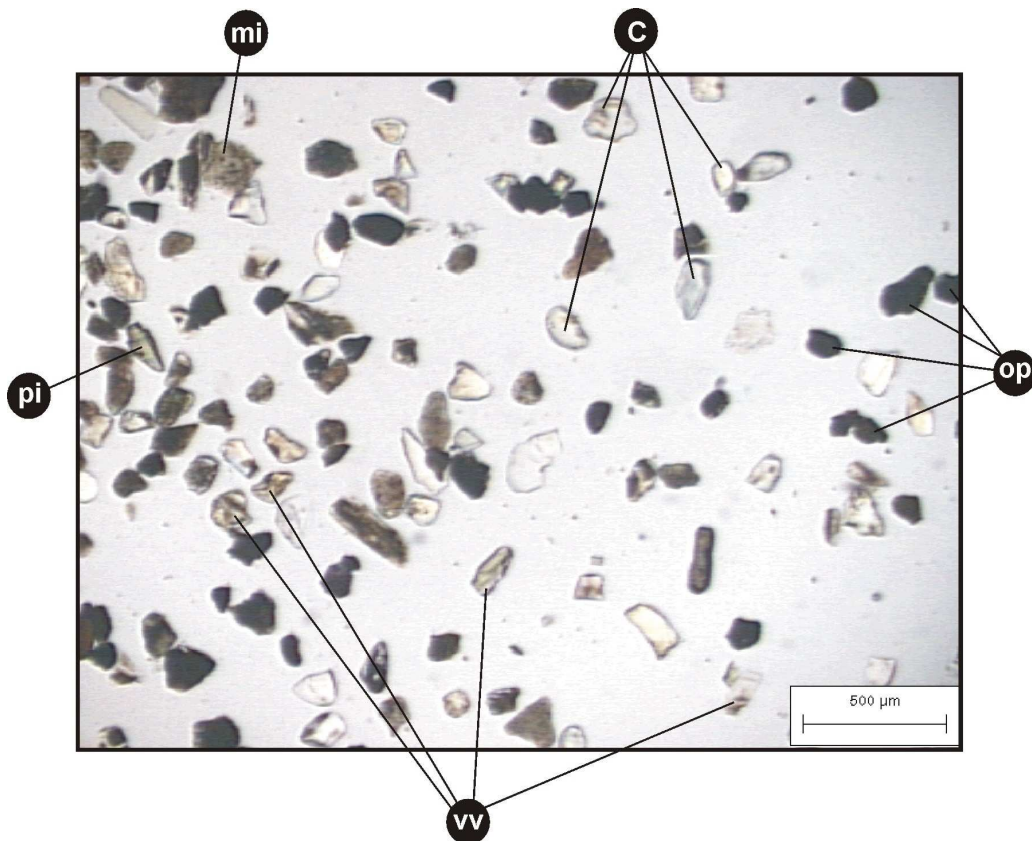


Foto 3.4.2.2.a. Arenas basales de la Fm. Maldonado (fracción arena). Se distingue la presencia de cuarzo (C), microclino (mi), piroxeno (pi), vidrio volcánico (vv) y opacos (op)

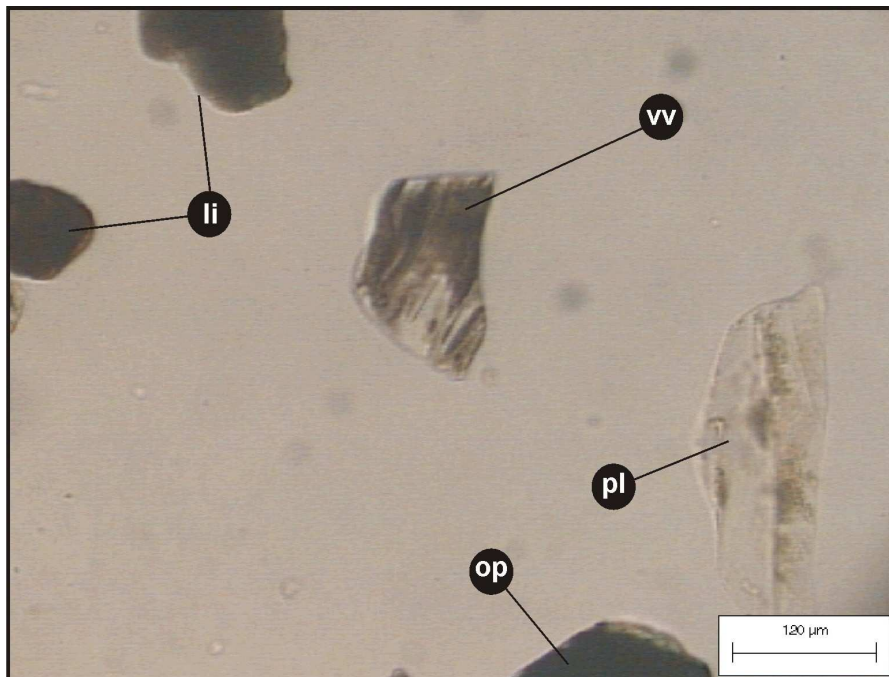


Foto 3.4.2.2.b. Detalle de la misma muestra. Se distingue vidrio volcánico (vv), plagioclasa (pl), litoclastos (li) y opacos (op)

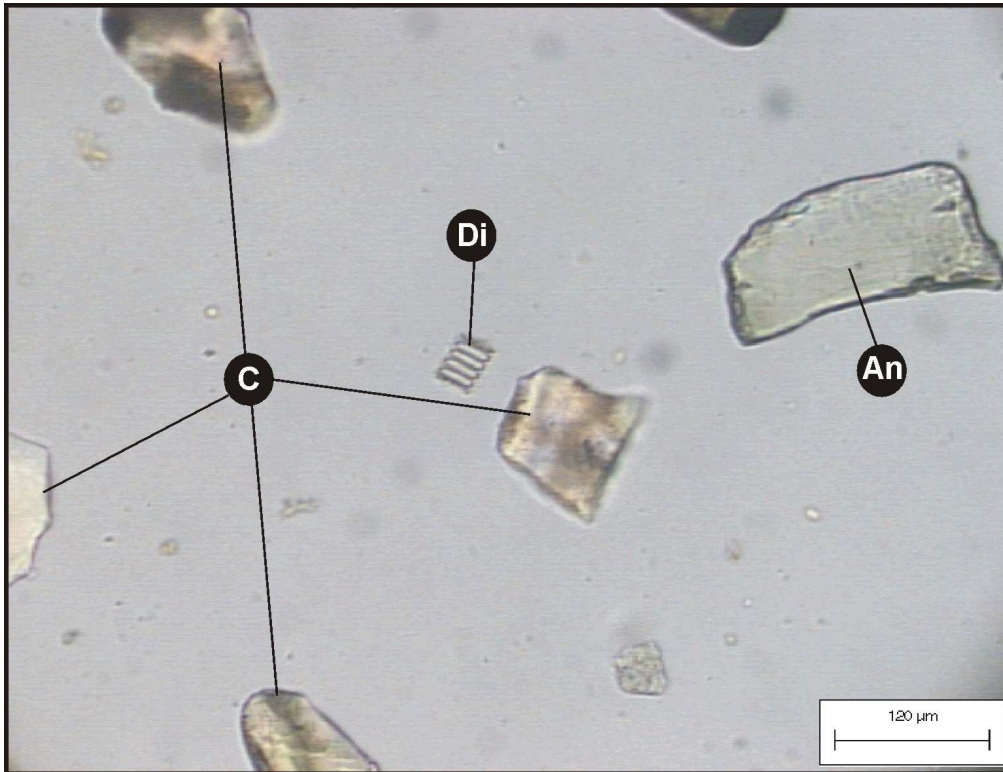


Foto 3.4.2.2.c. Detalle de la misma muestra. En este caso se observa cuarzo (C), anfíbol (An) y en la parte central de la fotografía una diatomea (Di)

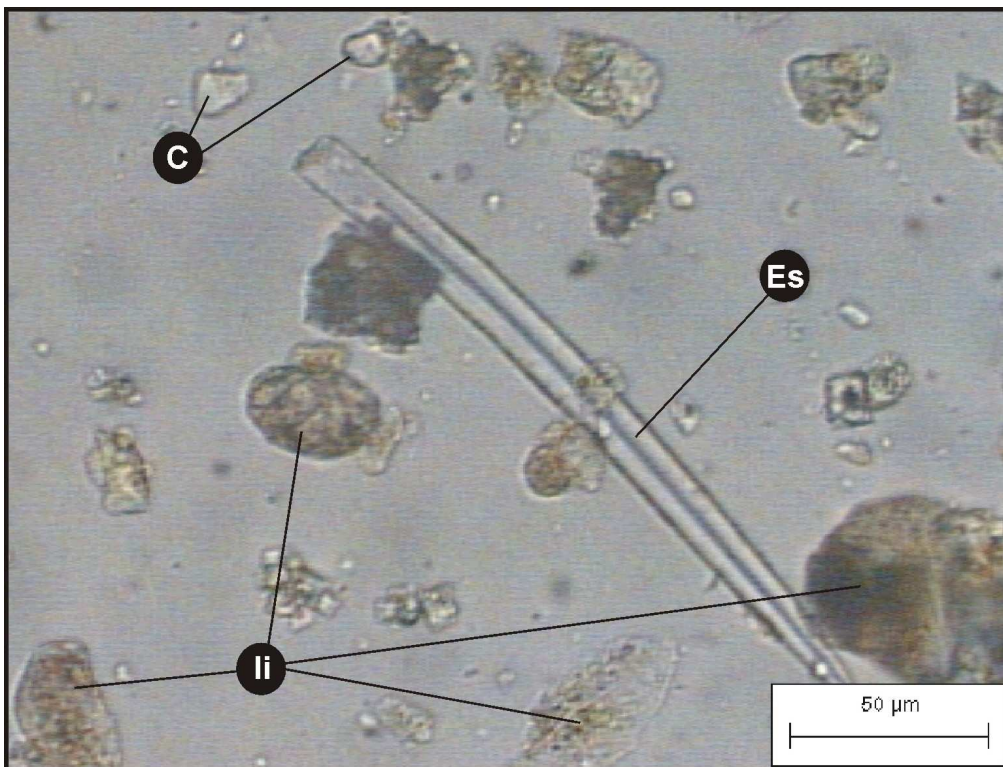


Foto 3.4.2.2.d. Detalle de la fracción fina de las arenas basales de la Fm. Maldonado. Se destaca en el centro de la imagen una espícula de esponja (Es). También se observan litoclastos (li) y cuarzo (C)

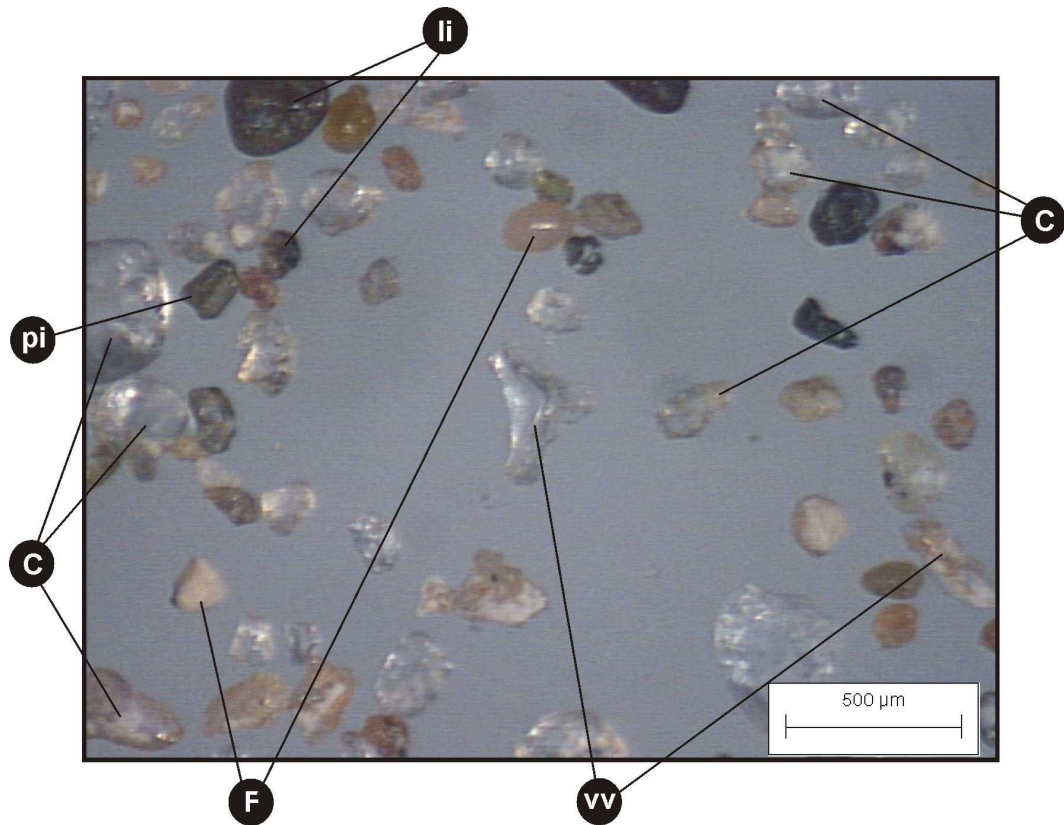


Foto 3.4.2.2.e. Arenas inferiores de la Fm. Maldonado (fracción arena) vistas a través de lupa binocular. Se observa cuarzo (C), feldspatos (F), vidrio volcánico (vv), litoclastos (li) y piroxenos (pi)

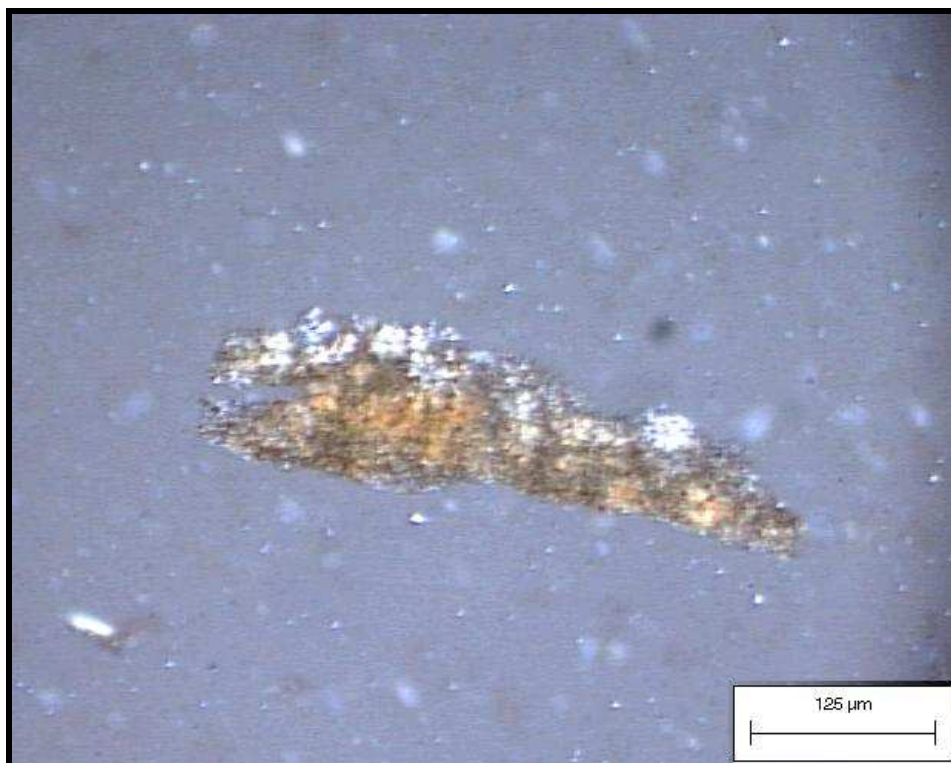


Foto 3.4.2.2.f. Agregado de montmorillonita. En el borde superior puede observarse alteración a clorita

Capítulo 5: Zona no saturada

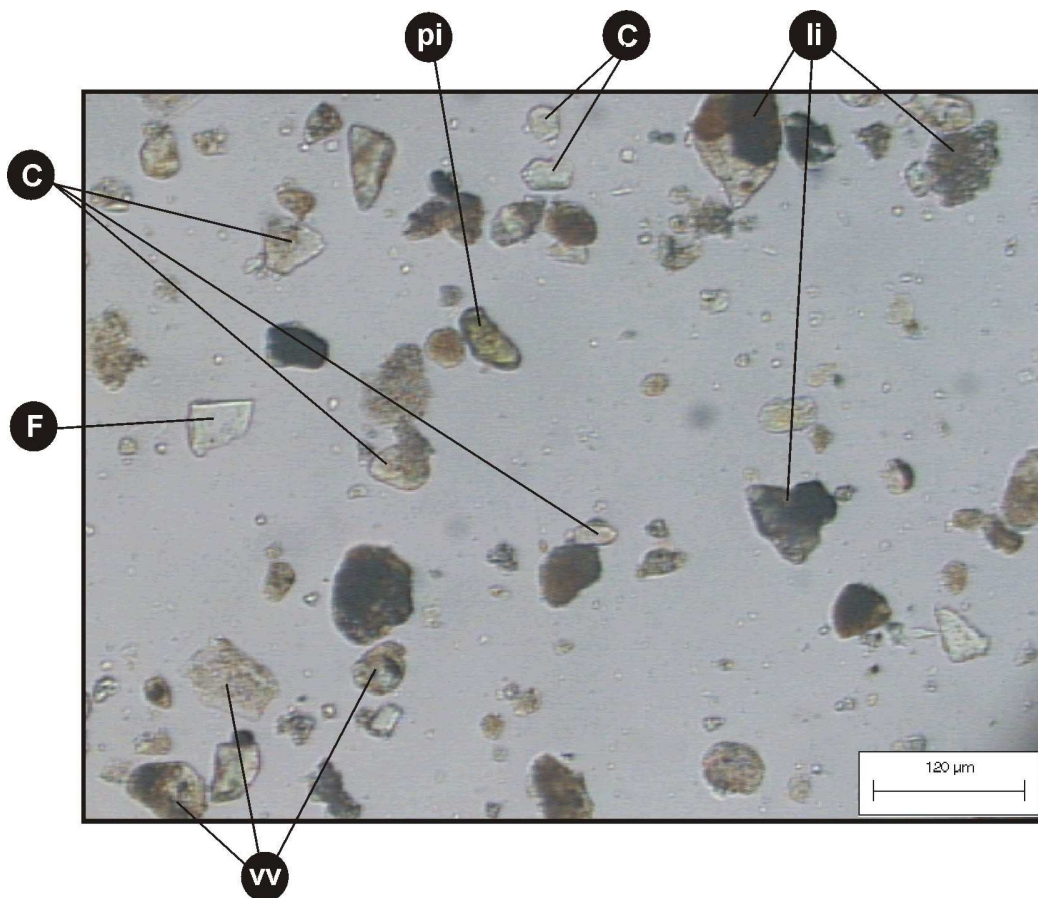


Foto 5.3.2.1. Material de relleno de la parcela experimental. Se reconoce la presencia de cuarzo (C), vidrio volcánico (vv), litoclastos (li), feldespatos (F) y piroxeno (pi)